



УДК 536.24

© 2012

А. П. Слесаренко, Ю. О. Кобринович

**Структурно-разностные модели,
точно учитывающие осциллирующий во времени
нестационарный теплообмен на поверхности
конструктивных элементов**

(Представлено членом-корреспондентом НАН Украины Ю. Г. Стояном)

Впервые построены структурно-разностные модели задач теплопроводности, точно удовлетворяющие нестационарным граничным условиям. Исследована устойчивость разностных схем. Приводятся результаты вычислительного эксперимента для задачи теплопроводности с нестационарными граничными условиями.

Задачи с нестационарными граничными условиями особо важны с научно-технической точки зрения, однако в случаях, когда поведение коэффициента теплообмена и окружающей среды имеет осциллирующий во времени характер, а температура в конструктивном элементе за очень малый промежуток времени изменяется на три и более порядка, существующие методы решения краевых задач моделируют процессы теплообмена с большой погрешностью.

Структурно-разностные модели краевых задач предлагается строить на базе совместного применения аналитических структур решения [1], PS-функций [2] и разностных схем повышенного порядка точности. Аналитические структуры решения с использованием PS-функций позволяют точно удовлетворять нестационарным граничным условиям при любых заданных зависимостях коэффициентов теплообмена и температуры окружающей среды. Использование разностных схем повышенного порядка точности позволяет строить модели нестационарного температурного процесса высокой степени адекватности.

Рассмотрим высокоскоростной температурный процесс с нестационарными граничными условиями:

$$c(t)\rho \frac{\partial T(x_1, y_1, t)}{\partial t} = \lambda(t) \left(\frac{\partial^2 T(x_1, y_1, t)}{\partial x_1^2} + \frac{\partial^2 T(x_1, y_1, t)}{\partial y_1^2} \right) + F_{\text{ист}}(x_1, y_1, t);$$

$$\begin{aligned}
\left(\pm \frac{\partial T(x_1, y_1, t)}{\partial x_1} + h(t)T(x_1, y_1, t) \right) \Big|_{x=\pm l} &= h(t)T_{\text{cp}}(x_1, y_1, t); \\
\left(\pm \frac{\partial T(x_1, y_1, t)}{\partial y_1} + h(t)T(x_1, y_1, t) \right) \Big|_{y=\pm l} &= h(t)T_{\text{cp}}(x_1, y_1, t); \\
T(x_1, y_1, 0) = \theta(x_1, y_1); \quad x_1, y_1 \in \Omega; \quad 0 < t < \infty,
\end{aligned} \tag{1}$$

где функции $c(t)$, $\lambda(t)$, $h(t)$ характеризуют изменения во времени удельной теплоемкости материала конструктивного элемента, его коэффициента теплопроводности, относительного коэффициента теплоотдачи, соответственно; ρ — плотность материала конструктивного элемента.

Перейдем к безразмерным величинам координат и времени:

$$\begin{aligned}
c(t) = c_0 \vartheta(t); \quad \lambda(t) = \lambda_0 \varsigma(t); \quad h(t) = \alpha \lambda^{-1}; \quad a = c_0 \rho \lambda_0^{-1}; \quad \text{Bi}(t) = h(t)l; \\
x_1 = xl^{-1}; \quad y_1 = yl^{-1}; \quad \text{Fo} = atl^{-2}; \quad T(x, y, 0) = \theta(x, y); \quad x, y \in \Omega; \quad 0 < \text{Fo} < \infty; \\
\vartheta(\text{Fo})T(x, y, \text{Fo})'_{\text{Fo}} = \varsigma(\text{Fo})(T(x, y, \text{Fo})''_{xx} + T(x, y, \text{Fo})''_{yy}) + F_{\text{нст}}(x, y, \text{Fo})l^2 a^{-1}; \\
(\pm T(x, y, \text{Fo})'_x + \text{Bi}(\text{Fo})T(x, y, \text{Fo}))|_{x=\pm 1} = \text{Bi}(\text{Fo})T_{\text{cp}}(x, y, \text{Fo}); \\
(\pm T(x, y, \text{Fo})'_y + \text{Bi}(\text{Fo})T(x, y, \text{Fo}))|_{y=\pm 1} = \text{Bi}(\text{Fo})T_{\text{cp}}(x, y, \text{Fo}).
\end{aligned} \tag{2}$$

Рассмотрим решение задачи (1) на примере задачи для бесконечной призмы прямоугольного поперечного сечения $-1 \leq x \leq 1$, $-1 \leq y \leq 1$:

$$\begin{aligned}
T(x, y, \text{Fo})'_{\text{Fo}} = \Delta T(x, y, \text{Fo}) + F(x, y, \text{Fo}); \\
(\pm T(x, y, \text{Fo})'_x + \text{Bi}(\text{Fo})T(x, y, \text{Fo}))|_{x=\pm 1} = \text{Bi}(\text{Fo})T_{\text{cp}}(x, y, \text{Fo}); \\
(\pm T(x, y, \text{Fo})'_y + \text{Bi}(\text{Fo})T(x, y, \text{Fo}))|_{y=\pm 1} = \text{Bi}(\text{Fo})T_{\text{cp}}(x, y, \text{Fo}); \\
T(x, y, 0) = \theta(x, y); \quad x, y \in \Omega; \quad 0 < \text{Fo} < \infty.
\end{aligned} \tag{3}$$

Структуру решения задачи (3) представим в виде:

$$T(x, y, \text{Fo}) = \Phi_0(x, y, \text{Fo}) + \sum_{k,l} C_{k,l} \chi_{k,l}(x, y, \text{Fo}), \tag{4}$$

где

$$\begin{aligned}
\Phi_0(x, y, \text{Fo}) = T_{\text{cp}}(\text{Fo}); \quad \theta(x, y) = T_m(x, y, 0); \\
F(x, y, \text{Fo}) = T_m(x, y, \text{Fo})'_{\text{Fo}} - (T_m(x, y, \text{Fo})''_{xx} + T_m(x, y, \text{Fo})''_{yy}); \\
\chi_{k,l}(x, y, \text{Fo}) = P_k(x)P_l(y) - \\
- W_1(x, y)[(P_k(x)'_x P_l(y)DW_1(x, y) - \text{Bi}(\text{Fo})P_k(x)P_l(y))|_{x=\pm 1}] - \\
- W_2(x, y)[(P_l(y)'_y P_k(x)DW_2(x, y) - \text{Bi}(\text{Fo})P_k(x)P_l(y))|_{y=\pm 1}];
\end{aligned}$$

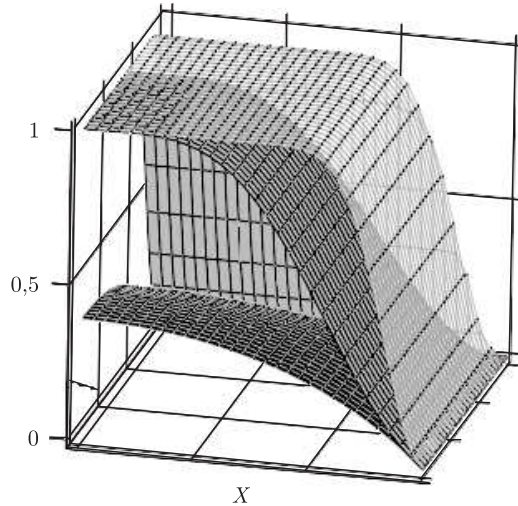


Рис. 1. Опорная функция $\omega_1(x)$ для $\beta = 2$ (нижний график), $\beta = 4$ (средний график); $\beta = 8$ (верхний график)

$C_{k,l}$ — неизвестные коэффициенты; $\Phi_0(x, y, Fo)$ — функция, точно удовлетворяющая нестационарным неоднородным граничным условиям; $\chi_{k,l}(x, y, Fo)$ — базисные функции, точно удовлетворяющие нестационарным однородным граничным условиям; $P_k(x)$, $P_l(y)$ — нормированные полиномы Чебышева; $W_1(x, y)$ и $W_2(x, y)$ — PS-функции для прямоугольной призмы; $DW_1(x, y)$ и $DW_2(x, y)$ — производные $W_1(x, y)$ и $W_2(x, y)$ по x и y соответственно с фиксированным значением $DW_1(x, y)$ и $DW_2(x, y)$ на границе.

PS-функции для прямоугольной призмы:

$$\begin{aligned}
 W_1(x, y) &= \omega_1(x) + (2\omega_2(y))^2 - \sqrt[\beta]{\omega_1(x)^\beta + (2\omega_2(y))^{2\beta}}; \quad n = 0,5\beta - 1; \quad \beta = 2N; \\
 W_2(x, y) &= \omega_2(y) + (2\omega_1(x))^2 - \sqrt[\beta]{\omega_2(y)^\beta + (2\omega_1(x))^{2\beta}}; \\
 \omega_1(x) &= 0,5(1 - x^2)(1 + \alpha_1 f_1(x) + \alpha_2 f_1(x)^2 + \alpha_3 f_1(x)^3 + \dots + \alpha_n f_1(x)^n), \\
 \omega_2(y) &= 0,5(1 - y^2)(1 + \alpha_1 f_2(y) + \alpha_2 f_2(y)^2 + \alpha_3 f_2(y)^3 + \dots + \alpha_n f_2(y)^n),
 \end{aligned} \tag{5}$$

где $\alpha_1 = 0,25$ из условия нулевой кривизны опорных функций $\omega_1(x)$ и $\omega_2(y)$ на границе призмы; $\alpha_2, \dots, \alpha_n$ обеспечивают наилучшие аппроксимационные свойства аналитических структур; $f_1(x) = 1 - x^2$, $f_2(y) = 1 - y^2$.

На рис. 1 показана опорная функция $\omega_1(x)$ для $\beta = 2; 4; 8$, удовлетворяющая условиям нулевой кривизны на границе призмы и обеспечивающая в качестве весовой функции наилучшие аппроксимационные свойства аналитических структур.

Дискретную математическую модель построим с помощью разностных схем повышенного порядка точности. Рассмотрим две разностные схемы трехслойные по времени и девятиузловые по координатам: “большой крест” и “ящик” [3]

$$(T'_{Fo})^s_{3i,j} = (\Delta T)^s_{9б.к.i,j}, \tag{6}$$

$$(T'_{Fo})^s_{3i,j} = (\Delta T)^s_{9я.i,j}, \tag{7}$$

где

$$\begin{aligned} (T'_{\text{Fo}})_{3i,j}^s &= (T_{i,j}^s - T_{i,j}^{s-1})\text{Fo}^{-1}, \quad s = 1, 2; \\ (T'_{\text{Fo}})_{i,j}^s &= (T_{i,j}^{s-2} - 4T_{i,j}^{s-1} + 3T_{i,j}^s)(2\text{Fo})^{-1}, \quad s > 2; \\ (\Delta T)_{96.к.и.и.}^s &= (12h^2)^{-1}(-T_{i-2,j}^s - T_{i,j-2}^s - T_{i+2,j}^s - T_{i,j+2}^s + \\ &\quad + 16(T_{i-1,j}^s + T_{i,j-1}^s + T_{i+1,j}^s + T_{i,j+1}^s) - 60T_{i,j}^s); \\ (\Delta T)_{9я.и.и.}^s &= (6h^2)^{-1}(T_{i-1,j-1}^s + T_{i+1,j+1}^s + T_{i-1,j+1}^s + T_{i+1,j-1}^s + \\ &\quad + 4(T_{i-1,j}^s + T_{i,j-1}^s + T_{i+1,j}^s + T_{i,j+1}^s) - 20T_{i,j}^s). \end{aligned}$$

Найдем необходимое спектральное условие устойчивости Неймана [4] для схем (6) и (7), задавая $(T)_{i,j}^0 = e^{I(\mu i + \nu j)}$ в виде двумерной гармоники: $(T)_{i,j}^s = \lambda^s(\mu, \nu, r)e^{I(\mu i + \nu j)}$, где $r = \Delta\text{Fo}h^{-2}$; μ, ν — вещественные параметры.

Определим r , для которого выполняется необходимое условие устойчивости Неймана $|\lambda(\mu, \nu, r)| \leq 1$ для схем (6), (7) соответственно:

$$\lambda_{3-96.к.}(\mu, \nu, r) = 6^{-1} \left[4 + 2rA(\mu, \nu) \pm \sqrt{(4 + 2rA(\mu, \nu))^2 - 12} \right]; \quad (8)$$

$$\lambda_{3-9я.}(\mu, \nu, r) = 6^{-1} \left[4 + 2rB(\mu, \nu) \pm \sqrt{(4 + 2rB(\mu, \nu))^2 - 12} \right], \quad (9)$$

где

$$A(\mu, \nu) = 12^{-1}[-\cos(2\mu) - \cos(2\nu) + 16(\cos(\mu) + \cos(\nu)) - 60];$$

$$B(\mu, \nu) = 6^{-1}[\cos(\mu)\cos(\nu) + 4(\cos(\mu) + \cos(\nu)) - 20].$$

Максимальные значения параметра r , при котором соблюдается необходимое условие устойчивости, следующие: $r = 0,511$ — для схемы (6), $r = 0,889$ — для схемы (7).

На рис. 2 показан больший из двух комплексных спектров $\lambda(\mu; \nu; r)$ для схем (6) и (7), удовлетворяющий необходимому условию устойчивости Неймана.

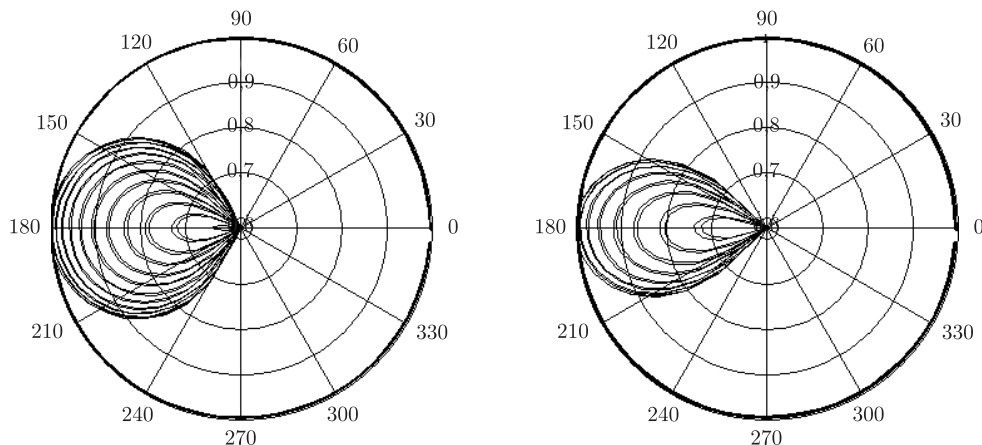


Рис. 2. Спектр $\lambda(\mu; \nu; r)$: а — схема (7), $r = 0,889$; б — схема (6), $r = 0,511$

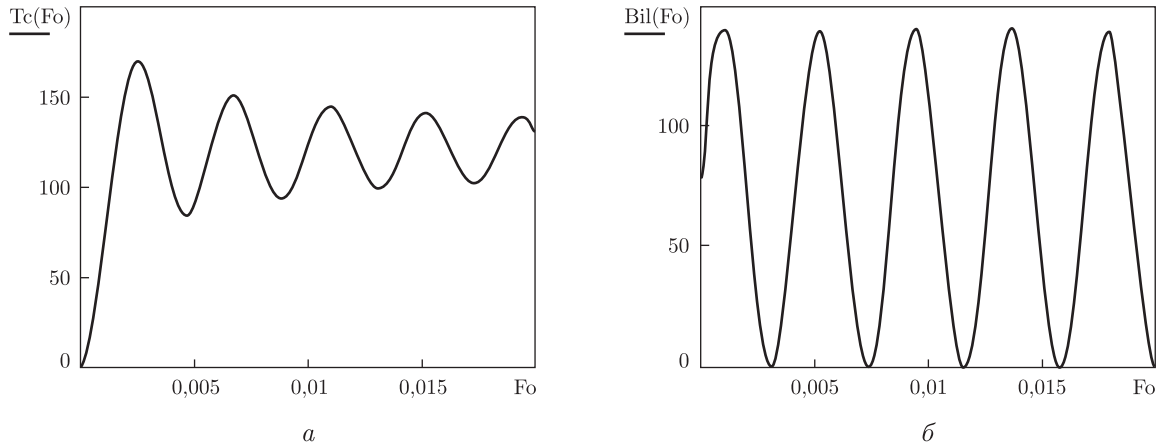


Рис. 3. Температура среды, осциллирующая как функция Бесселя (а) и критерий Био, осциллирующий по синусоиде (б)

Проведен вычислительный эксперимент на интервале от $0,001Fo$ до $0,02Fo$. В качестве модельной выбрана задача, точное решение которой имеет вид:

$$T_m(x, y, Fo) = T_{cp}(Fo) + (\varphi(x, Fo) - g_1(x)\phi(x, Fo)'_x g_1(x)'_x + g_1(x)Bi(Fo)\phi(x, Fo)) \times (\psi(y, Fo) - g_2(y)\psi(y, Fo)'_y g_2(y)'_y + g_2(y)Bi(Fo)\psi(y, Fo)), \quad (10)$$

где $\varphi(x, Fo) = 50Fo(\cos(x) + 2)^{-1}$; $\psi(y, Fo) = 10Fo(\cos(x) + 2)^{-1}$; $g_1(x) = 0,5(1 - x^2)$; $g_2(y) = 0,5(1 - y^2)$; $x, y \in \Omega$; $0 < Fo < 0,02$.

Температура среды и критерий Био осциллируют:

$$Bi(Fo) = 70(\sin(1500Fo) + 1), \quad T_{cp}(Fo) = 120(1 - J_0(1500Fo)).$$

Графики температуры среды и критерия Био представлены на рис. 3.

Структурно-разностную модель теплового процесса построим с использованием уравнений теплопроводности, разностной схемы (7) и структуры решения (4) задачи теплопроводности:

$$\begin{aligned} & \sum_{k,l} C_{k,l}^s [\chi_{k,li,j}^s - Fo(6h^2)^{-1}(\chi_{k,li-1,j-1}^s + \chi_{k,li+1,j+1}^s + \chi_{k,li-1,j+1}^s + \chi_{k,li+1,j-1}^s + \\ & + 4(\chi_{k,li-1,j}^s + \chi_{k,li,j-1}^s + \chi_{k,li+1,j}^s + \chi_{k,li,j+1}^s) - 20\chi_{k,li,j}^s)] = \\ & = \sum_{k,l} C_{k,l}^{s-1} \chi_{k,li,j}^{s-1} + Fo(6h^2)^{-1}(\Phi_{0i-1,j-1}^s + \Phi_{0i+1,j+1}^s + \Phi_{0i-1,j+1}^s + \Phi_{0i+1,j-1}^s + \\ & + 4(\Phi_{0i-1,j}^s + \Phi_{0i,j-1}^s + \Phi_{0i+1,j}^s + \Phi_{0i,j+1}^s) - 20\Phi_{0i,j}^s) - (\Phi_{0i,j}^s - \Phi_{0i,j}^{s-1}) + \\ & + Fo(6h^2)^{-1}F_{mi,j}^s, \quad s = 1, 2; \\ & \sum_{k,l} C_{k,l}^s [3\chi_{k,li,j}^s - Fo(3h^2)^{-1}(\chi_{k,li-1,j-1}^s + \chi_{k,li+1,j+1}^s + \chi_{k,li-1,j+1}^s + \chi_{k,li+1,j-1}^s + \\ & + 4(\chi_{k,li-1,j}^s + \chi_{k,li,j-1}^s + \chi_{k,li+1,j}^s + \chi_{k,li,j+1}^s) - 20\chi_{k,li,j}^s)] = \end{aligned} \quad (11)$$

$$\begin{aligned}
&= 4 \sum_{k,l} C_{k,l}^{s-1} \chi_{k,li,j}^{s-1} - \sum_{k,l} C_{k,l}^{s-1} \chi_{k,li,j}^{s-1} + \text{Fo}(3h^2)^{-1} (\Phi_{0i-1,j-1}^s + \Phi_{0i+1,j+1}^s + \\
&\quad + \Phi_{0i-1,j+1}^s + \Phi_{0i+1,j-1}^s + 4(\Phi_{0i-1,j}^s + \Phi_{0i,j-1}^s + \Phi_{0i+1,j}^s + \Phi_{0i,j+1}^s) - 20\Phi_{0i,j}^s) - \\
&\quad - (\Phi_{0i,j}^{s-2} - 4\Phi_{0i,j}^{s-1} + 3\Phi_{0i,j}^s) + \text{Fo}(3h^2)^{-1} F_{mi,j}^s, \quad s > 2.
\end{aligned}$$

В матричной форме система уравнений (11) примет вид:

$$B\bar{C} = \bar{G}. \quad (12)$$

Умножим обе части уравнения на транспонированную матрицу B^T системы (12), получим:

$$B^T B \bar{C} = B^T \bar{G}. \quad (13)$$

Из линейной системы уравнений (13) определяется вектор неизвестных коэффициентов.

В табл. 1 представлены значения температуры призмы для трех моментов времени в трех точках и максимальная относительная погрешность вычисления. Расчет проводился на сетке 900 узлов, шаг по времени — $0,001\text{Fo}$, опорные функции $\omega_1(x)$ и $\omega_2(y)$ при $\beta = 8$, использовалась 21 координатная функция, коэффициенты опорной функции: $\alpha_1 = 0,25$; $\alpha_2 = 56,733$; $\alpha_3 = -258,512$; $\alpha_4 = 483,275$; $\alpha_5 = 462,85$; $\alpha_6 = 225,76$; $\alpha_7 = -44,655$.

На рис. 4 показан график температуры прямоугольной призмы для трех моментов времени: нижний график — для $0,001\text{Fo}$, средний — для $0,02\text{Fo}$, верхний — для $0,01\text{Fo}$.

Таблица 1. Температура и максимальная относительная погрешность вычисления температуры призмы

Fo	Значение	(0; 0)	(0,5; 0,5)	(1; 1)	$\varepsilon_{\max}, 10^{-3}\%$
0,001	Приближенное	86,51711	75,84149	58,58843	0,016274
	Точное	86,51711	75,84150	58,58843	—
0,01	Приближенное	2039,89899	1309,46173	122,48174	0,588083
	Точное	2039,89900	1309,46200	122,48175	—
0,02	Приближенное	134,83800	134,73611	133,46265	0,582389
	Точное	134,83806	134,73619	133,46343	—

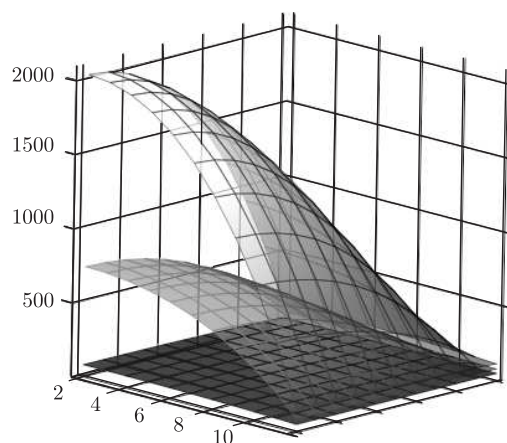


Рис. 4. Температура бесконечной прямоугольной призмы для $0,001\text{Fo}$ (нижний график), $0,01\text{Fo}$ (верхний график) и $0,02\text{Fo}$ (средний график)

Структурно-разностные модели позволяют проводить оценку температуры во всей области допустимых значений теплофизических параметров с любой зависимостью от времени, не перестраивая структур решения. Это делает возможным качественный анализ тонкой структуры динамических процессов, включая процессы теплопроводности с нестационарными граничными условиями, процессы с большими градиентами температур по времени и по координатам и процессы с осциллирующими коэффициентом теплопроводности и температурой среды. Геометрическая и аналитическая информация в граничных условиях учитывается точно. Интерполяция коэффициентов при базисных функциях позволяет представлять приближенные решения тепловых процессов в аналитической форме, что открывает новые возможности для создания баз данных температурных режимов конструктивных элементов разнообразных форм и разного назначения.

1. Слесаренко А. П., Сафонов Н. А. Идентификация нелинейной нестационарной зависимости мощности источника энергии от температуры на базе вариационно-структурного и проекционного методов // Пробл. машиностроения. – 2010. – **13**, № 6. – С. 58–63.
2. Слесаренко А. П. Математическое моделирование тепловых процессов в телах сложной формы при нестационарных граничных условиях // Там же. – 2002. – **5**, № 4. – С. 72–80.
3. Ильин В. П. Численные методы решения задач электрооптики. – Москва: Наука, 1974. – 202 с.
4. Годунов С. К., Рябенский В. С. Разностные схемы. Введение в теорию. – Москва: Наука, 1973. – 400 с.

*Институт проблем машиностроения
им. А. Н. Подгорного НАН Украины, Харьков*

Поступило в редакцию 29.06.2011

А. П. Слесаренко, Ю. О. Кобринович

Структурно-різницеві моделі, що точно враховують осцилюючий у часі нестационарний теплообмін на поверхні конструктивних елементів

Вперше побудовано структурно-різницеві моделі задач теплопровідності, що точно задовольняють нестационарні граничні умови. Досліджено стійкість різницевих схем. Наводяться результати обчислювального експерименту для задачі теплопровідності з нестационарними граничними умовами.

A. P. Slesarenko, J. O. Kobrinovich

Structural difference models that exactly account for the time-dependent oscillating nonstationary heat exchange on the surface of structural elements

A structure-difference model of heat conduction problems, which exactly satisfies the time-dependent boundary conditions, is first built. Stability of difference schemes is investigated. The results of computational experiments for the heat conduction problem with nonstationary boundary conditions are given.